

法政大学

○学生会員 東浦 稔

正会員 山門 明雄

正会員 牟田 親弘

間組技術研究所

正会員 草深 守人

1 はじめに

グラウンドアンカーがわが国に導入されて数十年になるが、当工法の経済性および信頼性が高まり、その施工件数も年々増加して来ている。摩擦型アンカーでは、アンカー体周面の摩擦抵抗分布はアンカー体軸方向に様でなく、アンカー体長を長くしても得られる引抜き抵抗力の大きさには限界がある。そこで大深度などで要求される大きな引抜き抵抗力をもつアンカーについて検討した。

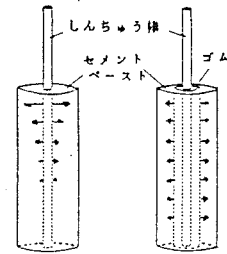
2 高耐力永久アンカーについて

アンカー体周面摩擦がアンカー先端部まで有効にかつ一定に発揮するようにアンカー体を二重構造とした。

3 二重構造アンカーと実験装置

① 図-1のように高耐力アンカーとして引張り材の周りに厚さ3mmのゴムを焼付け加工して付着させ、その周りをセメントペーストで固めたアンカーを作成した。

② 実験装置の概要は図-2のようである。試料は気乾状態の豊浦標準砂を使用し、砂箱を3層に分け、それぞれをバイプレタで締固めを行い、アンカー体表面の歪とアンカー頭部の変位の測定を行った。標準砂の間隙比は  $e = 0.71$  である。



← 力の伝わり方  
従来摩擦型アンカー 二重構造アンカー  
図-1 アンカー体

4 解析方法

加力時のアンカーおよび周辺の挙動をとらえるため弾塑性有限要素法 (ABAQUSを使用) によって解析した。土質材料の構成則は弾-加工硬化塑性体を仮定し、降伏条件として von-Mises を採用した。これは ABAQUS では、Drucker-Prager による加工硬化を扱えないための処置である。ただし、von-Mises では、静水圧応力成分による降伏応力 ( $\sigma_m$ ) の増大を考慮できないため、本解析では、以下の方法により  $\sigma_m$  の効果を導入した。

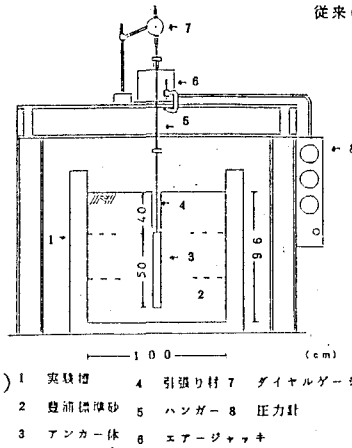


図-2 実験装置

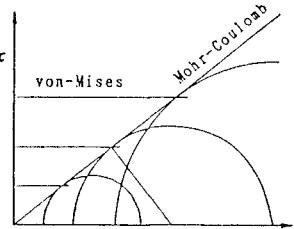


図-3

① 豊浦標準砂の三軸圧縮試験結果より

$$C = 0 \text{ kg/cm}^2 \quad \phi = 38^\circ \quad \gamma = 1.6 \text{ t/m}^3 \quad (e = 0.71)$$

② 応力の第一不変量 ( $J_1$ )、偏差応力の第二不変量 ( $J_2D$ ) の決定

$$\alpha = 2 \sin \phi / (\sqrt{3}(3 - \sin \phi)) = 0.298$$

$$k = 6 C \cos \phi / (\sqrt{3}(3 - \sin \phi)) = 0$$

$$J_1 = \sigma_1 + \sigma_2 + \sigma_3 = 3\gamma h$$

$$\sqrt{J_{2D}} = \alpha J_1 + k = 0.298 \cdot 3 \gamma h \quad (\text{Drucker-Pragerの降伏条件より})$$

- ③ von-Misesの降伏条件とMohr-Coulombのマッチング (図-3)

$$\sigma_0 = \sqrt{1/2} \sqrt{6 J_{2D}} = \sqrt{1/2} \sqrt{6 \cdot 0.298 \cdot 3 \gamma h}$$

- ④ 降伏後の塑性曲線

ABAQUSの加工硬化曲線は次式を仮定している。

$$\varepsilon^P = D(\sigma/\sigma_0 - 1)^P \quad \sigma \geq \sigma_0$$

ここで、 $\varepsilon^P$ は相当塑性歪  $\sigma$ は相当応力

$\sigma_0$ は静的降伏応力  $D, P$ は材料パラメータ

三軸圧縮試験結果(図-4)に上式をあてはめることにより材料パラメータ  $D, P$ を以下のように設定した。

$$D = 0.0055, \quad P = 1.81$$

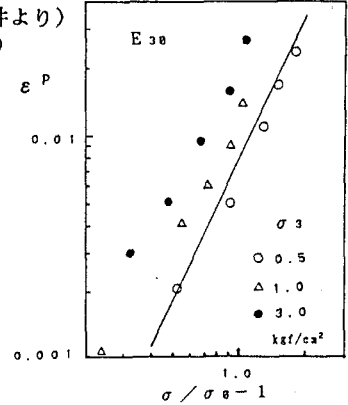


図-4 三軸圧縮試験

## 5 実験結果と解析結果

- ① 図-5 図-6は、従来のアンカーについて実験結果と解析結果を比較したものであり、両者は比較的よく対応している。

- ② 図-7は、アンカー体表面の土の最大せん断歪を比較したものである。土の最大せん断歪も二重構造アンカーが従来のアンカーに比べて小さく、模型実験での極限引抜き力(表-1)も増加している。また実際のアンカーを考える場合、ゴムによりアンカー体全長にわたって引張り力を伝えるためアンカーの有効長が増加し、極限引抜き力をさらに増加させる効果を期待できるものと考ええる。

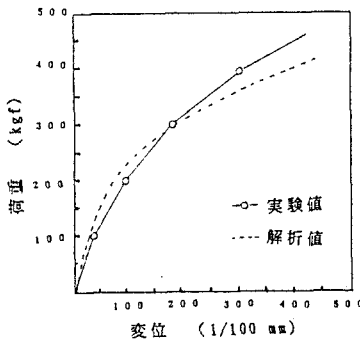


図-5 荷重-変位量曲線

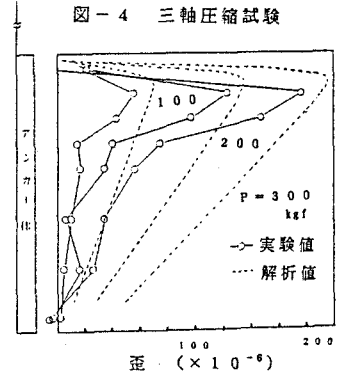


図-6 アンカー体歪分布 (セメントペースト部)

- ③ 図-8は、二重構造アンカーと従来のアンカーのアンカー体表面の歪を示したものである。二重構造アンカーは、従来のアンカーに比べてアンカー体表面の歪が小さくなり、これは引抜き力によるアンカー体のクラックを減少させる上で有効と考える。

表-1 極限引抜き力

	極限引抜き力 (kgf)
従来のアンカー	486.5
二重構造アンカー	643.8

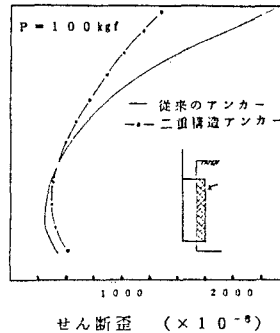


図-7 アンカー体表面の地盤のせん断歪

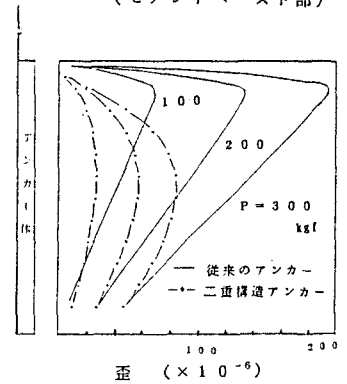


図-8 アンカー体歪分布 (セメントペースト部)

## 6 まとめ

- 1) アンカー体を二重構造にすることにより、すなわちアンカー体の内部に弾性係数の違う物質を入れると極限引抜き力が増加、アンカー体のクラックの減少、引張り材の防錆効果を期待できる。
- 2) 本論文では、アンカー体の中にゴムを使用した。ゴムと引張り材、ゴムとセメントペーストの付着の問題など今後の研究が必要である。